

DESİSİF BİR İKLİMLENDİRME SİSTEMİNİN EKSERJİ ANALİZİ

Ertaç HÜRDOĞAN, Orhan BÜYÜKALACA, Tuncay YILMAZ

Ç.Ü., Makine Mühendisliği Bölümü, Adana/Türkiye

Arif HEPBAŞLI

E.Ü., Makine Mühendisliği Bölümü, İzmir/Türkiye

ÖZET : Bu çalışmada, son yıllarda kullanımı yaygınlaşmaya başlayan ve konvansiyonel iklimlendirme sistemlerine göre bazı avantajlara sahip olan desisif bir iklimlendirme sistemi ele alınmıştır. Tüm sistemin ve sisteme bulunan önemli bileşenlerin performansı ekserji analizi yöntemi kullanılarak değerlendirilmiştir. Performans değerlendirilmesinde, ekserji verimlilikleri, özgül ekserji indeksleri, ekserjetik iyileştirme potansiyeli gibi bazı termodinamik parametreler kullanılmıştır.

Anahtar Kelimeler: İklimlendirme, nem almalı soğutma, ekserji analizi

EXERGY ANALYSIS OF DESICCANT BASED AIR CONDITIONING SYSTEM

ABSTRACT : In this study, a desiccant based air-conditioning system that is viable alternative to vapor compression systems is considered. The performance of the system and its components are evaluated by using exergy analysis. Some thermodynamic parameters like exergy efficiencies, specific exergy, exergetic improvement potential and are used in the performance evaluation.

Keywords: Air conditioning, desiccant cooling, exergy analysis

1. GİRİŞ

Desisif (Nem almalı) iklimlendirme sistemleri son yıllarda Avrupa'da ve ABD'de yaygınlaşmaya başlamasına rağmen, Türkiye'de tam olarak bilinmemekte ve çok fazla uygulaması bulunmamaktadır. Bu sistemlerde, iklimlendirilecek mahale gönderilen hava, nem alıcı (kurutucu) madde (kati veya sıvı) üzerinden geçirilerek nemi düşürülerek ve daha sonra istenilen konfor sıcaklığına kadar buharlaştırılmış soğutma veya konvansiyonel buhar sıkıştırılmış soğutma çevrimi tarafından soğutulmaktadır. Nem alıcı üzerindeki nem ise rejenerasyon havası olarak bilinen ikincil bir sıcak hava akımı tarafından uzaklaştırılmaktadır.

İklimlendirme sistemlerinde uygulanan değişik nem alma sistemleri Mazzei ve diğ. tarafından derlenmiş ve bir tiyatro salonu ile bir süper market için yapılan analizler neticesinde, desisif sistemlerin işletme maliyetlerinde büyük tasarruflar ve daha iyi nem kontrolü sağladığı, ancak ilk yatırım maliyetlerinde artışların olduğu belirtilmiştir [1]. Dai ve diğ., konvansiyonel buhar sıkıştırılmış soğutma sisteme nem alma ve buharlaştırılmış soğutmanın ilave edilmesi durumunda, soğutma kapasitesinde %20-30 artış sağlandığı ve sistemin COP'sinin ciddi oranda arttığını bildirmiştir [2]. Subramanyam ve diğ., düşük nem gereksinimi olan uygulamalar için desisif soğutmayı deneyimel olaraık incelemişler ve bu tür uygulamalarda desisif sistemin performansının alışılagelmiş yeniden-isıtmalı (re-heat) sistemlere göre daha iyi olduğunu bulmuşlardır [3]. La ve diğ. nem almada döner rotorun kullanıldığı farklı iklimlendirme sistemlerini ve bazı uygulamalarını içeren bir derleme çalışması yaparak bu tür sistemlerin uygunluğunu göstermişlerdir [4].

İklimlendirme sistemlerinde enerji verimliliği sağlamak üzere, değişik uygulamalar söz konusu iken, bu sistemlerin performansının değerlendirilmesinde enerji analizi yöntemi kullanılmaktadır [5]. Başka bir deyişle, sistemlerin performansının değerlendirilmesinde termodinamiğin birinci yasası kullanılmaktadır. Oysa bu sistemlerin işletmesini sağlamak için gerek duyduğumuz enerji, kullanılabilir enerjidir (ekserji). Termodinamik bakış açısından ekserji; bir referans çevreye denge haline gelirken, bir sistem ya da madde veya enerji akışıyla üretebilecek maksimum miktarda iş olarak tanımlanmaktadır. Ekserji, referans çevreye göre tamamen kararlı dengede olmanın sonucu olarak, değişime neden olan akış ya da sistemin potansiyelinin bir ölçüsüdür. Bir proses boyunca meydana gelen ekserji tüketimi, prosesle ilişkili tersinmezlikler nedeniyle ortaya çıkan entropiye orantıdır. Ekserji analizi yapmanın önemi aşağıdaki şekilde sıralanabilir [6]:

- a) Enerji kaynakları kullanımının çevreye olan etkilerinin en iyi şekilde belirlenmesinde ana bir araçtır.
- b) Enerji sistemlerinin tasarımu ve analizi için termodinamiğin ikinci yasasıyla birlikte kütle ve enerjinin korunumu prensiplerini kullanan etkin bir yöntemdir.
- c) Daha fazla verimli kaynak kullanılma amacını destekleyen uygun bir tekniktir. Belirlenmesi gereken atık ve kayıpların yerleri, tipleri ve gerçek büyütüklükleri ortaya çıkarılır.
- d) Mevcut sistemlerdeki verimsizlikleri azaltarak, daha verimli enerji sistemlerini tasarlamadan nasıl mümkün olup olamayacağını gösteren etkin bir tekniktir.
- e) Sürdürülebilir gelişmenin elde edilmesinde anahtar bir bileşendir.
- f) Enerji politikaların oluşturulmasında kullanılabilecek önemli bir araçtır.

Ekserji analizleri birçok araştırmacı tarafından farklı iklimlendirme sistemlerine uygulanmıştır [7-9]. Fakat desisif iklimlendirme sistemlerine uygulanan ekserji analizi çalışması çok fazla bulunmamaktadır [10,11]. Bu çalışmada, son yıllarda kullanımı yaygınlaşmaya başlayan ve konvansiyonel iklimlendirme sistemlerine göre bazı avantajlara sahip olan desisif bir iklimlendirme sistemi ele alınmıştır. Tüm sistemin ve sistemde bulunan önemli bileşenlerin performansı ekserji analizi yöntemi kullanılarak değerlendirilmiştir. Performans değerlendirilmesinde, ekserji verimlilikleri, özgürlük ekserji indeksleri (akımı), ekserjetik iyileştirme potansiyeli gibi bazı termodinamik parametreler kullanılmıştır.

2. SİSTEMİN TANITIMI

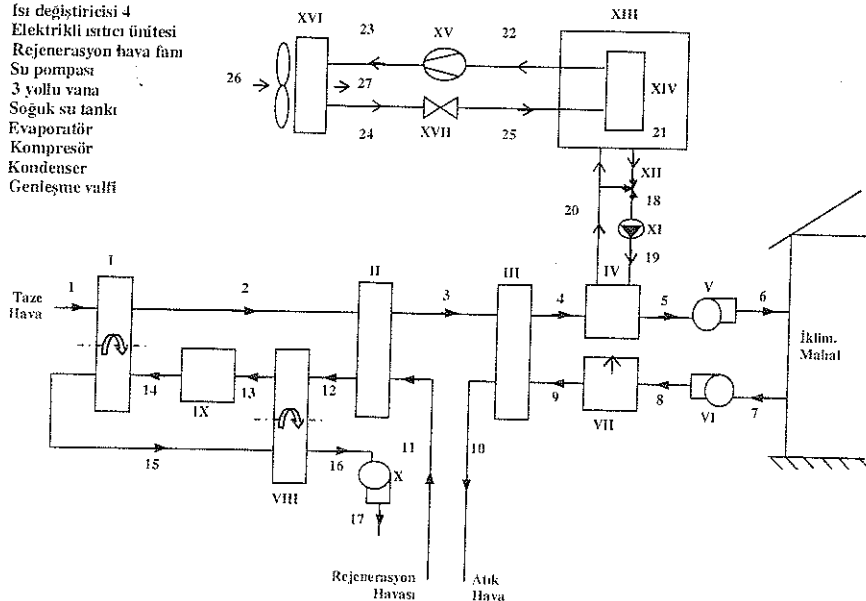
Şekil 1'de tasarılanıp, kurulan nem almalı iklimlendirme sisteminin genel görünüşü verilmiştir. Analizlerin düzenli bir şekilde yapılabilmesi için sisteme her bir ekipmana numara verilmiştir. Sistemde temiz, atık ve rejenerasyon olmak üzere üç adet hava kanalı bulunmaktadır. Temiz hava kanalı, tamamı dışardan alınan taze havayı iklimlendirerek mahale iletmek için kullanılır. Atık hava kanalı yardımıyla, mahal içerisinde emilen hava dışarı atılmaktadır. Rejenerasyon hava kanalı ise nem alma ünitesinde emilen nem uzaklaştırılmak için kullanılır. Bu kanallara, kullanılan havayı sistemin amacına uygun olarak şartlandırmak ve kontrol etmek amacıyla çeşitli elemanlar (nem alma ünitesi, ısı değiştiricisi, fan, soğutma grubu, ısıtıcı ünitesi, vb.) yerleştirilmiştir.

Temiz hava kanalına 1 noktasında alınan havanın nemi, nem alma ünitesinde (döner tip) düşürülümekte ($1 \rightarrow 2$) ve kuru ancak daha yüksek sıcaklıkta bir hava elde edilmektedir (2). Aynı anda bir miktar sıcak hava (rejenerasyon havası) ters yönden nem alıcıya gönderilerek (14) taze havadan çekilen nem, nem alma ünitesinden uzaklaştırılmaktadır ($14 \rightarrow 15$). Nem alma ünitesinden sonra, temiz hava 1 ve 2 numaralı ısı değiştiricisinden geçirilerek ($2 \rightarrow 4$), ön soğutma işlemine tabi tutulmakta ve sıcaklığı düşürülmektedir. Temiz havanın sıcaklığı, son olarak buhar sıkıştırımlı bir soğutma grubu tarafından soğutulan su yardımıyla kuru soğutucu serpantinde (3 numaralı ısı değiştiricisi) üfleme sıcaklığına kadar düşürülmektedir. Burada temiz havanın içerisindeki su buharının yoğunlaşması için sisteme gerekli otomatik kontrol elemanları ve sensörler yerleştirilmiştir. Tasarlanan bu sistemde mahale gönderilen temiz havadan nem alma işlemi sadece döner nem alıcıda gerçekleşmekte, diğer hiç bir ünitede (3 numaralı serpantin dahil) nem alma işlemi gerçekleşmemektedir.

İklimlendirilen mahalden (7) atık hava kanalına emilen hava, soğu geri kazanımı amacıyla kullanılan 2 numaralı ısı değiştiricisine gelmeden önce, bir nemlendirme ünitesinde nemlendirilerek sıcaklığı düşürülmekte ve 2 numaralı ısı değiştiricisi üzerinden geçirilerek dışarı atılmaktadır.

Rejenerasyon kanalına 11 noktasında emilen dış hava, 1 ve 4 numaralı ısı değiştiricilerinden geçirilerek ön ısıtma işlemine tabi tutulmakta ve daha sonra, nem alma ünitesindeki nemi uzaklaştırılmak için gerekli olan sıcaklığı (rejenerasyon sıcaklığı) kadar elektrikli ısıtıcılar kullanılarak ısıtılmaktadır ($13 \rightarrow 14$). 14 noktasında nem alma ünitesine giren rejenerasyon havası, nem alıcıda nemi içine alarak soğumakta (15) ve 4 numaralı ısı değiştiricisinden geçirilerek ($15 \rightarrow 16$) dışarı atılmaktadır (17).

- I Nem ahci rotor
- II Isı değiştiricisi 1
- III Isı değiştiricisi 2
- IV Isı değiştiricisi 3
- V Taze havu fanı
- VI Atık havu fanı
- VII Nemlendirici
- VIII Isı değiştiricisi 4
- IX Elektrikli isteci ünitesi
- X Rejenerasyon havu fanı
- XI Su pompası
- XII 3 volumn vana
- XIII Soğuk su tankı
- XIV Evaporatör
- XV Kompresör
- XVI Kondenser
- XVII Genleşme valfi



Şekil 1. Sistemin şematik resmi

3. MODELLEME VE ANALİZ

İklimlendirme sistemlerinde, ısı girdileri, ekserji tahribi oranı, enerji ve ekserji verimleri; kütle, enerji ve ekserji denge bağıntıları kullanılarak belirlenmektedir. Aşağıda, öncelikle genel bağıntılar, daha sonra sistemin performansının değerlendirilmesine yönelik bağıntılar verilecektir.

Sürekli-akışlı açık sistemler için, kütle, enerji ve ekserji denge bağıntıları aşağıdaki gibi yazılabilir [12-14]:

Birim zaman bazında kütle (kütlesel debi) dengesi:

$$\sum \dot{m}_g = \sum \dot{m}_c \quad (1)$$

Birim zamanda enerji dengesi (enerji akımı dengesi):

$$\dot{E}_g = \dot{E}_c \quad (2)$$

Birim zamanda ekserji dengesi (ekserji akımı dengesi):

$$\dot{Ex}_g - \dot{Ex}_c = \dot{Ex}_{tahrib} \quad (3)$$

veya

$$\dot{Ex}_{isi} - \dot{Ex}_{is} + \dot{Ex}_{kütle,g} - \dot{Ex}_{kütle,c} = \dot{Ex}_{tahrib} \quad (4)$$

veya

$$\sum \left(1 - \frac{T_0}{T_k} \right) \dot{Q}_k - \dot{W} + \sum \dot{m}_g \psi_g - \sum \dot{m}_c \psi_c = \dot{Ex}_{tahrib} \quad (5)$$

şeklindedir. Bu eşitliklerde (*Eşt. 1-5*) \dot{m} ; kütle debisini (kg/s), \dot{E} ; enerji akımını (kW), \dot{Ex} ; ekserji akımını (kW), alt indis "g" ve "c" sırasıyla girişi ve çıkış, alt indis "o" ise ölü hali ifade etmektedir. Ayrıca Eşitlik 5'te, k yerinde T_k sıcaklığında sistem sınırlarından olan \dot{Q}_k ; ısı transfer akımını (kW), \dot{W} ; gücü (kW) ve ψ ; fiziksel ekserjiyi (kJ/kg) göstermektedir.

Ekserji akımı (birim zamandaki akış ekserjisi, kW), aşağıdaki bağıntıdan elde edilebilir:

$$\dot{Ex} = \dot{m}\psi \quad (6)$$

Fiziksel ekserji su ve soğutucu akışkan için:

$$\psi_{su,su} = (h - h_0) - T_0(s - s_0) \quad (7)$$

hava için ise,

$$\begin{aligned} \psi_h &= (C_{p,h} + \omega C_{p,sh}) T_0 [(T/T_0) \cdot 1 - \ln(T/T_0)] + (1 + 1.6078\omega) R_h T_0 \ln(P/P_0) \\ &\quad + R_h T_0 \{(1 + 1.6078\omega) \ln[(1 + 1.6078\omega_0)/(1 + 1.6078\omega)] + 1.6078\omega \ln(\omega/\omega_0)\} \end{aligned} \quad (8)$$

şeklinde ifade edilmektedir. Fiziksel ekserji için verilen eşitliklerde h ; entalpiyi (kJ/kg), T ; sıcaklığı (°C), s ; entropiyi (kJ/kg K), $C_{p,h}$ ve $C_{p,sh}$; sırasıyla hava ve su buharının sabit basınçtaki özgül ısısını (kJ/kg K), ω ; özgül nem oranını (kg/kg_{hava}), R_h ; gaz sabitini (kJ/kg K), alt indis "o" ise ölü hali ifade etmektedir. Burada, özgül nem oranı, su buharının havanın kütle debisine orantı olarak aşağıdaki şekilde verilebilir.

$$\omega = \dot{m}_{sh}/\dot{m}_h \quad (9)$$

Ekserji verimi (ε), istenilen etkinin ekserjisinin kullanılan ekserjiye oranı yada kazancın (ürünün) ekserjisinin ($\dot{Ex}_{ür}$), yakıtın ekserjisine (\dot{Ex}_{yak}) oranı olarak aşağıdaki şekilde ifade edilmektedir.

$$\varepsilon = \frac{\dot{Ex}_{ür}}{\dot{Ex}_{yak}} \quad (10a)$$

veya

$$\varepsilon = \frac{\dot{Ex}_{\text{çıkan (ç)}}}{\dot{Ex}_{\text{giren (g)}}} \quad (10b)$$

İşı değiştiricileri için ekserji verimi, soğuk akışkandaki ekserji artısının ($\dot{Ex}_{\text{soguk},ç} - \dot{Ex}_{\text{soguk},g}$) sıcak akışkandaki ekserji düşülsüne ($\dot{Ex}_{\text{sıcak},ç} - \dot{Ex}_{\text{sıcak},g}$) oranı olarak aşağıdaki şekilde ifade edilmektedir.

$$\varepsilon_{ID} = \frac{\dot{Ex}_{\text{soguk},ç} - \dot{Ex}_{\text{soguk},g}}{\dot{Ex}_{\text{sıcak},g} - \dot{Ex}_{\text{sıcak},ç}} = \frac{\dot{m}_{\text{soguk}}(\psi_{\text{soguk},ç} - \psi_{\text{soguk},g})}{\dot{m}_{\text{sıcak}}(\psi_{\text{sıcak},g} - \psi_{\text{sıcak},ç})} \quad (11)$$

Van Gool's ekserjetik iyileştirme potansiyel akımı (\dot{IP}) aşağıdaki şekilde bulunabilir [15].

$$\dot{IP} = (1 - \varepsilon)(\dot{Ex}_g - \dot{Ex}_c) \quad (12)$$

Rölatif tersinmezlik (RT) ise:

$$RT = \frac{\dot{Ex}_{\text{tahrib},i}}{\dot{Ex}_{\text{tahrib},\text{toplam}}} \quad (13)$$

şeklinde tanımlanmaktadır. Bu eşitlikte "i" i'inci bileşeni ifade etmektedir.

Ekserji analizleri için sistem üç farklı kısma ayrılmıştır. Bu kısımlar: (i) iklimlendirme sistemi (hava kismı), (ii) soğutucu akışkan kismı ve (iii) iklimlendirilen mahal. Bu çalışmada, soğutucu akışkan kismı değerlendirilmemiştir.

Kütle, enerji ve ekserji tahrîbinin belirlendiği ekserji denge denklemleri Şekil 1'de görülen sistemin her ekipmanına uygulanmış ve aşağıda verilmiştir. Eşitliklerde alt indis olarak verilen numaralar, Şekil 1'deki numaraları ifade etmektedir.

Nem Alıcı Rotor (I):

$$\dot{m}_1 = \dot{m}_2 = \dot{m}_{\text{taze hava (t)}} ; \dot{m}_{14} = \dot{m}_{15} = \dot{m}_{\text{rejenerasyon havası (r)}} \quad (14a)$$

$$\dot{Q}_{\text{nemalici rotor (na)}} = \dot{m}_t(h_2 - h_1) \quad \dot{Q}_{\text{na}} = \dot{m}_r(h_{14} - h_{15}) \quad (14b)$$

$$\dot{Ex}_{\text{tahrib,na}} = \dot{m}_t(\psi_1 - \psi_2) + \dot{m}_r(\psi_{14} - \psi_{15}) + \dot{W}_{\text{na}} \quad (14c)$$

İşı Değiştiricisi 1 (II):

$$\dot{m}_2 = \dot{m}_3 = \dot{m}_t ; \dot{m}_{11} = \dot{m}_{12} = \dot{m}_r \quad (15a)$$

$$\dot{Q}_{\text{Isı Değiştiricisi (ID)I}} = \dot{m}_t(h_2 - h_3) ; \dot{Q}_{\text{IDI}} = \dot{m}_r(h_{12} - h_{11}) \quad (15b)$$

$$\dot{Ex}_{\text{tahrib,IDI}} = \dot{m}_t(\psi_2 - \psi_3) + \dot{m}_r(\psi_{11} - \psi_{12}) \quad (15c)$$

Isı Değiştiricisi 2 (III):

$$\dot{m}_3 = \dot{m}_4 = \dot{m}_t ; \dot{m}_9 = \dot{m}_{10} = \dot{m}_{\text{atık hava(a)}} \quad (16a)$$

$$\dot{Q}_{ID2} = \dot{m}_t(h_3 - h_4) ; \dot{Q}_{ID2} = \dot{m}_a(h_{10} - h_9) \quad (16b)$$

$$E\dot{x}_{\text{tahrib, ID2}} = \dot{m}_t(\psi_3 - \psi_4) + \dot{m}_a(\psi_9 - \psi_{10}) \quad (16c)$$

Isı Değiştiricisi 3 (IV):

$$\dot{m}_4 = \dot{m}_5 = \dot{m}_t ; \dot{m}_{18} = \dot{m}_{19} = \dot{m}_{su} \quad (17a)$$

$$\dot{Q}_{ID3} = \dot{m}_t(h_4 - h_5) ; \dot{Q}_{ID3} = \dot{m}_{su} c_{psu} (T_{20} - T_{19}) \quad (17b)$$

$$E\dot{x}_{\text{tahrib, ID3}} = \dot{m}_t(\psi_4 - \psi_5) + \dot{m}_{su}(\psi_{19} - \psi_{20}) \quad (17c)$$

Taze Hava Fanı (V):

$$\dot{m}_5 = \dot{m}_6 = \dot{m}_t \quad (18a)$$

$$\dot{W}_{fan,t} = \dot{m}_t(h_5 - h_6) \quad (18b)$$

$$E\dot{x}_{\text{tahrib, fan,t}} = \dot{m}_t(\psi_5 - \psi_6) + \dot{W}_{fan,t} \quad (18c)$$

Atık Hava Fanı (VI):

$$\dot{m}_7 = \dot{m}_8 = \dot{m}_a \quad (19a)$$

$$\dot{W}_{fan,a} = \dot{m}_a(h_8 - h_7) \quad (19b)$$

$$E\dot{x}_{\text{tahrib, fan,a}} = \dot{m}_a(\psi_7 - \psi_8) + \dot{W}_{fan,a} \quad (19c)$$

Nemlendirici (VII):

$$\dot{m}_8 = \dot{m}_9 = \dot{m}_a \quad (20a)$$

$$\dot{m}_a h_8 + \dot{m}_{su, \text{nemlendirici(nem)}} h_{su,nem} = \dot{m}_a h_9 \quad (20b)$$

$$E\dot{x}_{\text{tahrib, nem}} = \dot{m}_a(\psi_8 - \psi_9) + \dot{m}_{su,nem}(\psi_{su,nem}) \quad (20c)$$

Isı Değiştiricisi 4 (VIII):

$$\dot{m}_{12} = \dot{m}_{13} = \dot{m}_{15} = \dot{m}_{16} = \dot{m}_r \quad (21a)$$

$$\dot{Q}_{ID4} = \dot{m}_r(h_{13} - h_{12}) ; \dot{Q}_{ID4} = \dot{m}_r(h_{15} - h_{16}) \quad (21b)$$

$$E\dot{x}_{\text{tahrib, ID4}} = \dot{m}_r(\psi_{12} - \psi_{13}) + \dot{m}_r(\psi_{15} - \psi_{16}) + \dot{W}_{ID4} \quad (21c)$$

Elektrikli Isıtıcı Ünitesi (IX):

$$\dot{m}_{13} = \dot{m}_{14} = \dot{m}_r \quad (22a)$$

$$\dot{W}_{\text{Elektrikli Isıtıcı (EI)}} = \dot{m}_r (h_{14} - h_{13}) \quad (22b)$$

$$E\dot{x}_{\text{tahrib, EI}} = \dot{m}_r (\psi_{13} - \psi_{14}) + \dot{W}_{\text{EI}} \quad (22c)$$

Rejenerasyon Hava Fani (X):

$$\dot{m}_{16} = \dot{m}_{17} = \dot{m}_r \quad (23a)$$

$$\dot{W}_{\text{fan,r}} = \dot{m}_r (h_{17} - h_{16}) \quad (23b)$$

$$E\dot{x}_{\text{tahrib,fan,r}} = \dot{m}_r (\psi_{16} - \psi_{17}) + \dot{W}_{\text{fan,r}} \quad (23c)$$

Su pompası (XI):

$$\dot{m}_{18} = \dot{m}_{19} = \dot{m}_{su} \quad (24a)$$

$$\dot{W}_{\text{pompa}} = \dot{m}_{su} (h_{19} - h_{18}) \quad (24b)$$

$$E\dot{x}_{\text{tahrib,pompa}} = \dot{m}_{su} (\psi_{18} - \psi_{19}) + \dot{W}_{\text{pompa}} \quad (24c)$$

Tüm sistemin ve her bir ekipman için ekserji verimleri aşağıda verilmiştir:

Tüm Sistem (I-XVII):

$$\varepsilon_{\text{sistem}} = \frac{\sum E\dot{x}_g}{\sum E\dot{x}_s} \quad (25)$$

Nem Alıcı Rotor (I):

$$\varepsilon_{na} = \frac{E\dot{x}_2 + E\dot{x}_{15}}{E\dot{x}_1 + E\dot{x}_{14} + \dot{W}_{na}} \quad (26)$$

Isı Değiştiricisi 1 (II):

$$\varepsilon_{ID1} = \frac{E\dot{x}_3 + E\dot{x}_{12}}{E\dot{x}_2 + E\dot{x}_{11}} \quad (27)$$

Isı Değiştiricisi 2 (III):

$$\varepsilon_{ID2} = \frac{E\dot{x}_4 + E\dot{x}_{10}}{E\dot{x}_3 + E\dot{x}_9} \quad (28)$$

Isı Değiştiricisi 3 (IV):

$$\varepsilon_{ID3} = \frac{E\dot{x}_5 + E\dot{x}_{20}}{E\dot{x}_4 + E\dot{x}_{19}} \quad (29)$$

Taze Hava Fani (V):

$$\varepsilon_{fan,t} = \frac{E\dot{x}_6 - E\dot{x}_5}{\dot{W}_{fan,t}} \quad (30)$$

Atık Hava Fani (VI):

$$\varepsilon_{fan,a} = \frac{E\dot{x}_8 - E\dot{x}_7}{\dot{W}_{fan,a}} \quad (31)$$

Nemlendirici (VII):

$$\varepsilon_{nem} = \frac{E\dot{x}_9}{E\dot{x}_8 + E\dot{x}_{su,nem}} \quad (32)$$

Isı Değiştiricisi 4 (VIII):

$$\varepsilon_{ID4} = \frac{E\dot{x}_{13} + E\dot{x}_{16}}{E\dot{x}_{15} + E\dot{x}_{12} + \dot{W}_{ID4}} \quad (33)$$

Elektrikli Isıtıcı Ünitesi (IX):

$$\varepsilon_{El} = \frac{E\dot{x}_{14} - E\dot{x}_{13}}{\dot{W}_{ch}} \quad (34)$$

Rejenerasyon Hava Fani (X):

$$\varepsilon_{fan,r} = \frac{E\dot{x}_{17} - E\dot{x}_{16}}{\dot{W}_{fan,r}} \quad (35)$$

Su Pompası (XI):

$$\varepsilon_{pompa} = \frac{E\dot{x}_{19} - E\dot{x}_{18}}{\dot{W}_{pompa}} \quad (36)$$

4. BULGULAR VE TARTIŞMA

Bölüm 3'te ayrıntılı bir şekilde açıklanan ekserji analizleri, 120°C rejenerasyon sıcaklığında yapılan örnek bir deneye uygulanmış ve sonuçlar aşağıda verilmiştir. 15 Ağustos 2008 tarihinde 08:00 ile 19:00 saatleri arasında (yaklaşık 40000 saniye) gerçekleştirilen bu deneyde, oda sıcaklığı ve rölatif nem, ASHRAE tarafından verilen konfor bölgesi sınırlarına uygun olarak, sırasıyla 26°C ve %50'ye ayarlanmıştır. Sistemde bulunan her üç hava kanalındaki debiler, eşit ve 4000 m³/saat olacak şekilde ayarlanmıştır. Ekserji analizlerinden elde edilen sonuçlar, sistemdeki tersinmezlikler ve potansiyel iyileştirme olmak üzere iki ana grupta değerlendirilmiştir. Bu çalışmada, ölü hal sıcaklığı 15°C, basınç ise 101.325 kPa olarak alınmıştır. Hava için kullanılan ölü hal mutlak nem ise günlük ortalama dış hava mutlak nem olarak alınmıştır.

120°C rejenerasyon sıcaklığında yapılan deneyin 23400. saniyesinde, hava ve su için ölçülen ve hesaplanan sıcaklık, mutlak nem, kütle debisi, entalpi, ekserji akımı, ekserji verimi v.b. değerleri, Şekil 1'deki numaralarla uygun olarak tablolara hafifte verilmiştir (Tablo 1-2). Tablo 1'de verilen sonuçlar, elektrikli ısıtıcı ünitesine en fazla iş verilmesi nedeniyle, ekserji akımının diğer sistemi oluşturan elemanlara kıyasla tersinmezlikler sebebi ile daha fazla olduğu yönündedir. Tablo 2'de ise, sistem ve sistemdeki tüm ekipmanlar için, ekserjetik ürün-yakit akımları (giren-çıkan ekserji), ekserji tahribi, ekserji verimi, iyileştirme potansiyeli ve rölatif tersinmezlik gibi parametreler verilmiştir. Tablodan, sistemin ekserji veriminin çıkan/giren esasına göre % 38.67 olduğu görülmektedir. Sistemi oluşturan ekipmanlar arasında en yüksek ekserji veriminin (%97.99) 4 numaralı ısı değiştiricisinde olduğu yine bu tablodan görülmektedir. Tablo 2'den ayrıca, sistemde en yüksek ekserji tahribi ve iyileştirme potansiyeli akımı ile rölatif tersinmezliğin elektrikli ısıtıcı ünitesinde olduğu görülmektedir. Tüm ısı değiştiricileri arasında en yüksek rölatif tersinmezlik ise 1 numaralı ısı değiştiricisinde (%60.89) meydana gelmektedir.

5. SONUÇ

Bu çalışmada, son yıllarda kullanımı yaygınlaşmaya başlayan ve konvansiyonel iklimlendirme sistemlerine göre bazı avantajlara sahip olan desisif bir iklimlendirme sistemi ele alınmıştır. Tüm sistemin ve sistemde bulunan önemli bileşenlerin performansı ekserji analizi yöntemi kullanılarak değerlendirilmiştir. Tasarlanıp kurulan nem almalı iklimlendirme sisteminin ekserji analizleri gerçekleştirilen örnek bir deney için yapılmıştır. Yapılan analizlerden, sistemde ekserji tahribi akımı ve rölatif tersinmezliği en yüksek ekipmanın elektrikli ısıtıcı ünitesi olduğu ayrıca sistemde kullanılan ısı değiştiricilerinin ekserji verimlerinin %71-98 arasında değiştiği, tüm sistemin ekserji veriminin ise yaklaşık %40 olduğu görülmüştür.

Tablo 1. Elde edilen ekserji analizi sonuçları

No	Açıklama	Akışkan	Faz	Sıcaklık T (°C)	Basınç P (kPa)	Muttak nem W (kg su / kg hava)	Özgül Enerjisi h (kJ/kg)	Çerez s (kJ/kg)	Kültelid debi \dot{m} (kg/s)	Örgütl ekserji ψ (kJ/kg)	Eksersi akımı \dot{E}_x (kW)
0	-	Nemli hava	Olu hal	15	101.325	0.0166	-	-	-	-	-
0'	-	Su	Olu hal	15	101.325	-	63	0.234	-	-	-
1	Nem alıcı giriş (Dış hava)	Nemli hava	Gaz	23.71	101.325	0.0164	-	-	1.23	0.57	0.701
2	Nem alıcı çıkış / İst. değş. 1 giriş	Nemli hava	Gaz	55.58	101.325	0.0105	-	-	1.23	2.847	3.502
3	İst. değş. 1 çıkış / İst. değş. 2 giriş	Nemli hava	Gaz	40	101.325	0.0105	-	-	1.23	1.219	1.499
4	İst. değş. 2 çıkış / İst. değş. 3 giriş	Nemli hava	Gaz	26.97	101.325	0.0105	-	-	1.23	0.416	0.511
5	İst. değş. 3 çıkış / Taze hava fanı giriş	Nemli hava	Gaz	21.06	101.325	0.0105	-	-	1.23	0.232	0.286
6	Taze hava fanı çıkış / Mahal giriş	Nemli hava	Gaz	23.12	101.325	0.0105	-	-	1.23	0.283	0.348
7	Mahal çıkış / Atık hava fanı giriş	Nemli hava	Gaz	26.13	101.325	0.0108	-	-	1.23	0.365	0.449
8	Atık hava fanı çıkış / Neralendirici giriş	Nemli hava	Gaz	27.07	101.325	0.0108	-	-	1.23	0.403	0.495
9	Neralendirici çıkış / İst. değş. 2 giriş	Nemli hava	Gaz	20.38	101.325	0.014	-	-	1.23	0.079	0.097
10	İst. değş. 2 çıkış	Nemli hava	Gaz	31.76	101.325	0.014	-	-	1.23	0.512	0.63
11	İst. değş. 1 giriş (Dış hava)	Nemli hava	Gaz	33.17	101.325	0.0164	-	-	1.23	0.57	0.701
12	İst. değş. 1 çıkış / İst. değş. 4 giriş	Nemli hava	Gaz	44.4	101.325	0.0164	-	-	1.23	1.455	1.79
13	İst. değş. 4 çıkış / Elk. istatci giriş	Nemli hava	Gaz	52	101.325	0.0164	-	-	1.23	2.268	2.79
14	Elk. istatci çıkış / Nem alıcı giriş	Nemli hava	Gaz	87.71	101.325	0.0164	-	-	1.23	8.155	10.031
15	Nem alıcı çıkış / İst. değş. 4 giriş	Nemli hava	Gaz	52.15	101.325	0.0218	-	-	1.23	2.404	2.957
16	İst. değş. 4 çıkış / Rj. Hava fanı giriş	Nemli hava	Gaz	45.65	101.325	0.0218	-	-	1.23	1.688	2.077
17	Rj. hava fan çıkış	Nemli hava	Gaz	47.35	101.325	0.0218	-	-	1.23	1.864	2.292
18	Pompa giriş	Su	Sıvı	16.79	101.325	-	70.1	0.249	0.861	0.104	0.009
19	Pompa çıkış / İst. değş. 3 giriş	Su	Sıvı	16.89	101.325	-	70.9	0.252	0.861	0.163	0.144
20	İst. değş. 3 çıkış / Su çıkışlı giriş	Su	Sıvı	19.42	101.325	-	81.5	0.288	0.861	0.058	0.05

Tablo 2. Sistem ve tüm ekipmanlara ait sonuçlar

Charz		Eksiyetlik türün akımı (çeksen ekseni) (kW)	Eksiyetlik yarısı akımı (çeksen ekseni) (kW)	Eksiyet təharri akımı (kW)	Eksiyet verdiri (%)	İyileşirme potansiyeli akımı (kW)	Rətəif təsiratnezlik (%) RT	Tüm isti değərinciləri	Tüm sistem
No	Tənim	P	\dot{P}	\dot{E}_{habibi}	ε	iP			
I	Nənəcisi rotor	6.459	10.912	4.453	59.19	1.817			
II	İst deyərincisi 1	3.239	4.263	0.914	78.25	0.199	60.89	2.41	
III	İst deyərincisi 2	1.141	1.596	0.455	71.49	0.13	30.32	1.2	
IV	İst deyərincisi 3	0.336	0.366	0.033	91.84	0.002	2.08	0.08	
V	Təze hava fanı	0.062	2.986	2.924	2.076	2.864	-	7.7	
VI	Aük hava fanı	0.046	2.156	2.059	2.17	2.025	-	5.45	
VII	Nəpləndirici	0.097	0.604	0.507	16.07	0.425	-	1.34	
VIII	İst deyərincisi 4	4.867	4.967	0.1	97.99	0.002	6.71	0.27	
IX	Elek. istitci ümisi	7.241	30.037	22.796	24.11	17.3	-	60.02	
X	Rej. hava fanı	0.215	3.083	2.887	6.97	2.668	-	7.55	
XI	Pompa	0.096	0.8	0.704	12.04	0.619	-	2.25	
II-IV-VIII	Tüm deyərinciləri	181	9.63	11.13	1.501	86.54	0.302	100	
I-XVII	Tüm sistem	23.85	61.67	37.97	38.67	23.194	-	100	

6. TEŞEKKÜR

Bu çalışma, TÜBİTAK tarafından “106M094” nolu proje kapsamında desteklenmiştir. Desteklerinden dolayı TÜBİTAK'a teşekkür ederiz.

7. KAYNAKLAR

1. Mazzei,P., Minichiello,F., Palma,D., “HVAC dehumidification systems for thermal comfort: a critical review”, *Applied Thermal Engineering*, 25: 677-707, 2004.
2. Dai,Y.J., Wang,R.Z., Zhang,H.F., Yu,J.D., “Use of liquid desiccant cooling to improve the performance of vapor compression air conditioning”, *Applied Thermal Engineering*, 21:1185-1202, 2002.
3. Subramanyam,N., Maiya,M.P., Murthy,S.S., “Application of desiccant wheel to control humidity in air-conditioning systems”, *Applied Thermal Engineering*, 24: 2777-2788, 2004.
4. La,D., Dai,Y.J., Li,Y., Wang,R.Z., Ge,T.S., “Technical development of rotary desiccant dehumidification and air conditioning: a review”, *Renewable and Sustainable Energy Reviews*, 14:130-147, 2010.
5. Savçım,E., “Gebze tesisleri enerji tasarrufu”, *EİE Enerji Verimliliği Haftası*, 2005.
6. Dinçer,I., “The role of exergy in energy policy making”, *Energy Police*, 30: 137-149, 2002.
7. Chengpin,R., Nianping,L., Guangfa,T., “Principle of exergy analysis in HVAC and evaluation of evaporative cooling schemes”, *Building and Environment*, 37: 1045-1055, 2002.
8. Zhang,G.O., Wang,L., Liu,L., Wang,Z., “Thermoeconomic optimization of small size central air conditioner”, *Applied Thermal Engineering*, 24: 471-485, 2004.
9. Taufiq,B.N., Masjuki,H.H., Mahlia,T.M.I., Amalina,M.A., Faizul,M.S., Saidur,R., “Exergy analysis of evaporative cooling for reducing energy use in a Malaysian building”, *Desalination*, 209: 238-243, 2007.
10. Kanoğlu,M., Çarpınlioğlu,M.Ö., Yıldırım,M., “Energy and exergy analyses of an experimental open-cycle desiccant cooling system”, *Applied Thermal Engineering*, 24: 919-932, 2004.
11. Nior,L., Al-Shargawi,H.S., “Exergy analysis of flow dehumidification by solid desiccants”, *Energy*, 30: 915-931, 2005.
12. Hepbaşlı,A., “Thermodynamic analysis of a ground-source heat pump system for district heating”, *International Journal of Energy Research*, 7: 671-687, 2005.
13. Balta,M.T., Hepbaşlı,A., “Klima santrallerinin performansının değerlendirilmesinde eksjerji analizi yöntemi: Modelleme ve uygulama”, IV. Ege Enerji Sempozyumu, 2008.
14. Kotas,T.J., “The exergy method of thermal plant analysis”, *Krieger Publishing Company, Florida*, 1995.
15. Gool,W.V., “Energy policy: fairly check exact spelling of last word, tales and factualities”, *Dordrecht*, 93-105, 1997.

